

Министерство образования и науки Российской Федерации  
Федеральное государственное бюджетное образовательное учреждение  
высшего образования  
**ТОМСКИЙ ГОСУДАРСТВЕННЫЙ УНИВЕРСИТЕТ СИСТЕМ  
УПРАВЛЕНИЯ И РАДИОЭЛЕКТРОНИКИ  
(ТУСУР)**

Кафедра телевидения и управления (ТУ)

УТВЕРЖДАЮ

Зав. кафедрой ТУ

 Т.Р. Газизов

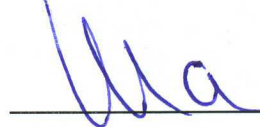
«8» 06 2018 г.

Руководство к лабораторной работе

**ИССЛЕДОВАНИЕ ВОЛЬТ-АМПЕРНЫХ ХАРАКТЕРИСТИК  
БИПОЛЯРНЫХ ТРАНЗИСТОРОВ**

по дисциплинам: «Физические основы электроники», «Электроника»,  
«Физические основы микроэлектроники», «Основы электроники» для  
студентов направлений подготовки: 11.03.01 (Радиотехника), 11.03.02  
(Инфокоммуникационные технологии и системы связи).

Разработчики:

 В.Д. Шалимов

«8» 06 2018 г.

 А.М. Заболоцкий

«8» 06 2018 г.

Томск 2018

## Введение

Цель работы – исследование статических вольт-амперных характеристик биполярных транзисторов в схеме с общим эмиттером, оценка статических параметров транзисторов.

### 1. Общие положения

#### 1.1 Разновидности транзисторов

В настоящее время транзисторы и созданные на их основе линейные и цифровые интегральные схемы получили самое широкое распространение и стали основой современной радиоэлектроники. Отечественная промышленность выпускает биполярные транзисторы *n-p-n* и *p-n-p* типов, представляющие собой трехэлектродные двухпереходные полупроводниковые приборы, которые могут работать в трех схемах включения общая база (ОБ), общий эмиттер (ОЭ), общий коллектор (ОК), причем в каждой из схем включения в трех режимах работы.

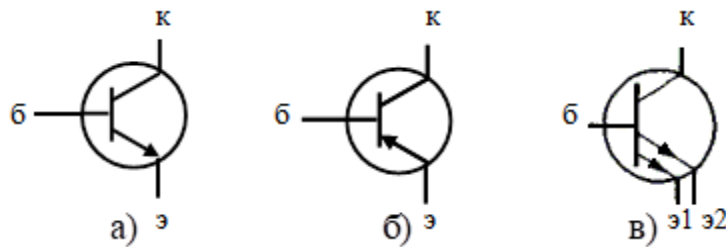


Рис. 1.1 Обозначения биполярных транзисторов: *n-p-n* (а) и *p-n-p* (б) типов, многоэмиттерный (в)

#### 1.2 Статические вольт-амперные характеристики биполярных транзисторов в схеме с ОБ

Статические вольтамперные характеристики идеализированных биполярных транзисторов в схеме с общей базой описываются формулами Эберса – Молла

$$I_{\mathcal{E}} = I'_{\mathcal{E}0} \left( e^{U_{\mathcal{E}B}/\varphi_r} - 1 \right) - \alpha_I I'_{K0} \left( e^{U_{KB}/\varphi_r} - 1 \right), \quad (1.1)$$

$$I_K = \alpha_N I'_{\mathcal{E}0} \left( e^{U_{\mathcal{E}B}/\varphi_r} - 1 \right) - I'_{K0} \left( e^{U_{KB}/\varphi_r} - 1 \right), \quad (1.2)$$

$$I_B = I_{\mathcal{E}} - I_K$$

где  $I_K$ ,  $I_{\mathcal{E}}$  – токи коллектора и эмиттера;  $I'_{\mathcal{E}0}$ ,  $I'_{K0}$  – тепловые токи коллекторного и эмиттерного переходов, измеренные при  $U_{\mathcal{E}B} = 0$  и  $U_{KB} = 0$  соответственно;  $\alpha_I$  и  $\alpha_N$  – коэффициенты передачи коллекторного и эмиттерного токов.

Так как задать прямое напряжение на эмиттерном *p-n* переходе трудно, целесообразно считать заданной величиной эмиттерный ток, а не эмиттерное напряжение.

Решив уравнение (2.2) относительно  $I_K$ , получим для схемы ОБ:

$$I_K = \alpha_N I_\Theta - I_{K0} (e^{U_{KB}/\varphi_T} - 1), \quad (1.3)$$

полагая, что  $\alpha_N I_{\Theta 0} = \alpha_I I_{K0}$  и  $\alpha_N \approx \alpha_I$

Это уравнение описывает выходные характеристики транзистора  $I_K = f(U_{KB})$  с параметром  $I_\Theta$  (рис. 1.2, а).

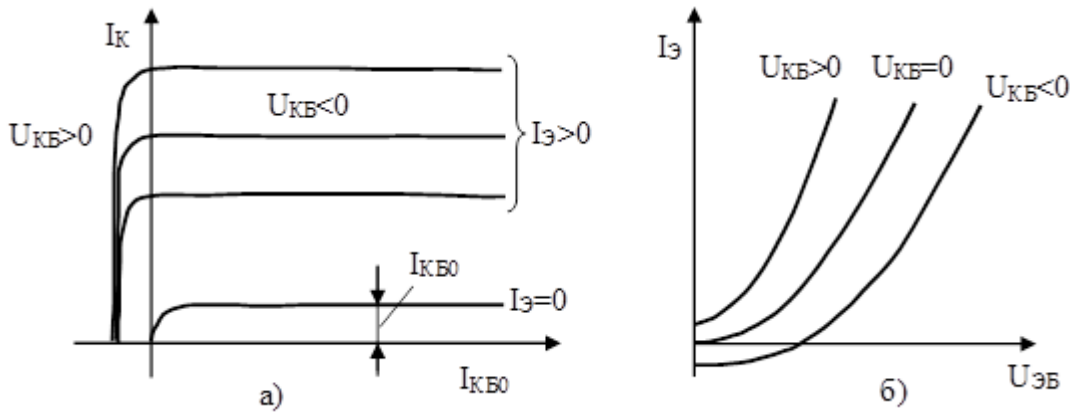


Рис. 1.2 – Статические характеристики идеализированного транзистора, включенного по схеме с ОБ: а – выходные; б – входные

Уравнение (1.4), решенное относительно  $U_{EB}$ , дает выражение, характеризующее идеализированные входные характеристики транзистора  $U_{EB} = f(I_\Theta)$ :

$$U_{EB} = \varphi_T \ln [I_\Theta / I'_{\Theta 0} + 1 + \alpha_N (e^{U_{KB}/\varphi_T} - 1)], \quad (1.5)$$

Входные характеристики транзистора показаны на рис. 1.2б.

На (рис. 1.2, а) ясно видны две области: активного режима ( $U_{KB} > 0$ ) и режима насыщения ( $U_{KB} < 0$ ).

Для активного режима, когда  $(1 - \alpha_N) \approx 0$ ,  $U_{KB} \gg \varphi_T$  и  $(U_{KB} < 0)$ , выражения (1.3) и (1.5) можно упростить и записать в виде:

$$I_K = \alpha I_\Theta + I_{K0}, \quad (1.6)$$

$$U_{EB} \approx \varphi_T \ln (I_\Theta / I'_{\Theta 0}), \quad (1.7)$$

### 1.3 Реальные статические вольт-амперные характеристики биполярных транзисторов в схеме с ОБ

В формулах Молла – Эберса не учитывается целый ряд факторов, таких, как эффект Эрли (модуляция толщины базы при изменении коллекторного напряжения), пробой перехода, зависимость  $\alpha$  от тока и др. Реальные коллекторные характеристики показаны на рис. 1.3. Кривые коллекторного семейства имеют конечный, хотя и очень небольшой, наклон, который в области, близкой к пробою, резко увеличивается. Расстояние между кривыми немного уменьшается при больших токах из-за уменьшения  $\alpha$ .

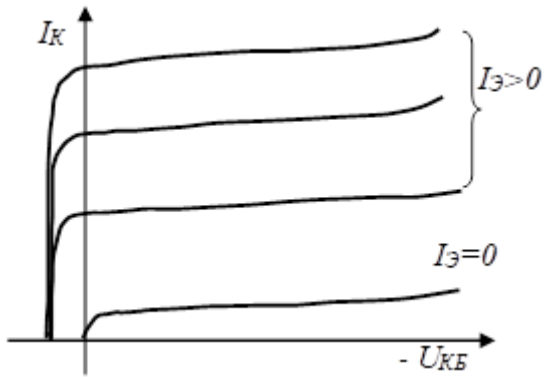


Рис. 1.3 – Реальные вольтамперные характеристики биполярного транзистора в схеме с ОБ

В активном режиме (1-й квадрант), усредняя нелинейное сопротивление  $r_k$ , можно характеризовать коллекторное семейство в схеме с ОБ достаточно строгим соотношением:

$$I_K = \alpha I_E + I_{KB0} + \left( U_{KB} / r_{k\text{диф}} \right), \quad (1.8)$$

где  $r_{k\text{диф}} = \frac{\partial U_{KB}}{\partial I_K} |_{I_E=\text{const}}$  – дифференциальное сопротивление коллекторного  $p-n$ -перехода.

#### 1.4 Статические вольт-амперные характеристики биполярных транзисторов при включении с общим эмиттером

При включении транзисторов с общим эмиттером входным током является ток базы, который и принят за параметр семейства выходных характеристик рис. 1.4.

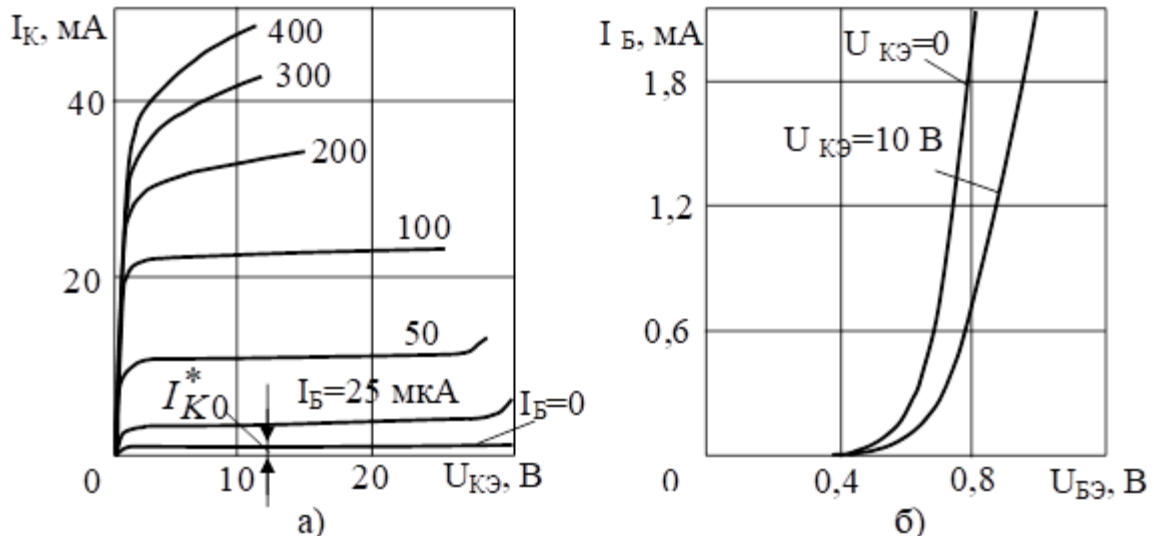


Рис. 1.4 – Выходные (а) и входные (б) характеристики транзистора для схемы с ОЭ

$$I_K = \beta I_B + I_{K0}^* + U_{KE} / r_{k\text{диф}}^*, \quad (1.9)$$

где  $\beta = \alpha / (1 - \alpha)$ ;  $I_{K0}^* = I_{KB0} (1 + \beta)$ ;  $r_{k\text{диф}}^* = r_{k\text{диф}} / (1 + \beta)$ ;  $I_{K0}^*$  – обратный ток коллекторного перехода при  $I_B = 0$ .

Семейства входных и выходных характеристик транзистора, включенного по схеме с ОЭ, приведены на рис. 1.4.

Следует обратить внимание на то, что в схеме с ОЭ влияние тока  $I_{KB0}$  и сопротивления  $r_{\kappa \text{ diq}}$  на коллекторный ток увеличивается в  $1+\beta$  раз по сравнению со схемой с ОБ.

Коллекторный ток  $I_K = I_{KB0}$  получается, если  $I_B = -I_{KB0}$ . Следовательно, в диапазоне от  $I_B = 0$  до  $I_B = -I_{KB0}$  транзистор управляемся «отрицательным» входным током.

## 2. Описание лабораторного макета

Для исследования статических вольт-амперных характеристик биполярных транзисторов в схеме с общим эмиттером используется схема, изображенная в правой части лабораторного макета рис. 2.1. С помощью переключателя П5б выбирается исследуемый транзистор. С помощью переключателя П3, меняя сопротивление резистора  $R_B$  (грубо), и переменного резистора  $R_{B \text{ под}}$  (плавно) можно установить ток базы  $I_B$  при работе с биполярными транзисторами. Измерение тока базы производится стрелочным миллиамперметром, включаемым в базовую цепь переключателем П7. Чувствительность прибора устанавливается переключателем П6.

При работе с полевым транзистором с помощью переключателей П3 и П8 (грубо) и переменного резистора  $R_{B \text{ под}}$  (плавно) можно установить управляющее напряжение на затворе транзистора.

Изменять величину коллекторного напряжения можно переключателем П4, меняя величину резистора ( $R_{K1} \div R_{K10}$ ) в цепи коллектора. Напряжение на коллекторе транзистора измеряется осциллографом, а ток, протекающий через транзистор, измеряется стрелочным миллиамперметром, включаемым в коллекторную цепь переключателем П7.

Перечень биполярных транзисторов, исследуемых при проведении лабораторной работы, приведен в таблице 3.1.

Таблица 3.1

Наименование	T1	T2
Тип	МП16	МП104

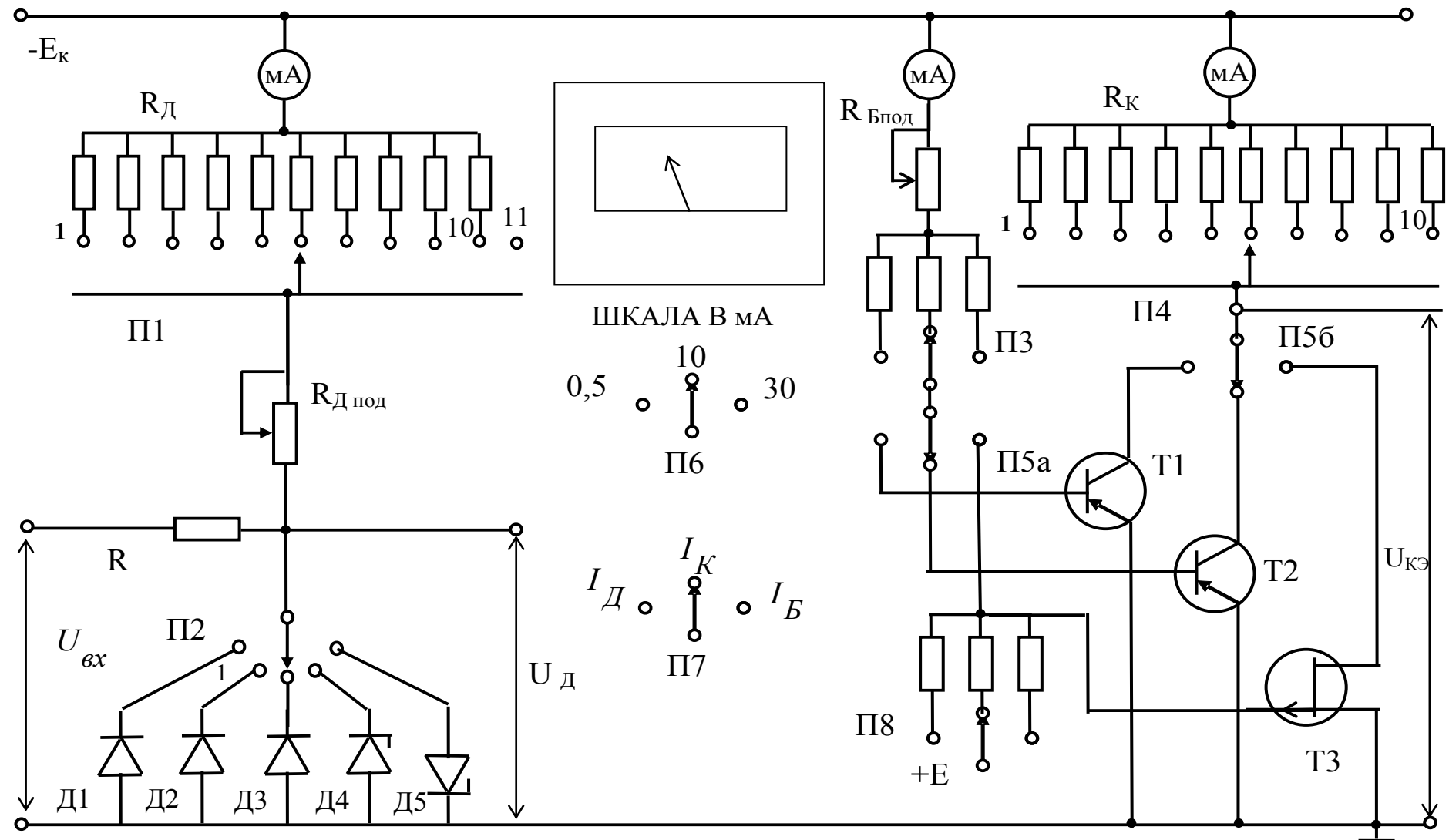


Рис. 2.1 – Лицевая панель макета для исследования диодов и транзисторов

#### 4. Порядок выполнения работы

Для исследования выходных вольтамперных характеристик транзисторов в схеме с общим эмиттером необходимо:

- 1) Включить источник питания макета;
  - 2) Переключатель П5б установить в положение 1, подключив транзистор Т1;
  - 3) Переключатель П7 установить в положение ток базы  $I_\delta$ ;
  - 4) Переключатель П6 установить в положение 0,5 mA;
  - 5) С помощью переключателя П3 (грубо) и переменного резистора  $R_{\delta \text{ под}}$  (плавно) установить ток базы  $I_B$  равным 50 мкА;
  - 6) Переключатель П6 установить в положение 10 mA, переключатель П7 в положение ток коллектора  $I_K$ ;
  - 7) Вход осциллографа присоединить к коллектору исследуемого транзистора для измерения постоянного напряжения на коллекторе  $U_{KЭ}$ ;
  - 8) Изменяя переключателем П4 резисторы  $R_{K1} \div R_{K10}$  и тем самым величину коллекторного напряжения, снять зависимость  $I_K = f(U_{KЭ})$  при токе базы  $I_\delta$  равном 50 мкА.
- Результаты измерений занесите в таблицу 3.1.

Таблица 3.1

Положение переключателя	1	2	3	4	5	6	7	8	9	10	Примечание
$I_K$ , mA											$I_\delta = 50$ мкА
$U_{KЭ}$ , В											
$I_K$ , mA											$I_\delta = 100$ мкА
$U_{KЭ}$ , В											
$I_K$ , mA											$I_\delta = 150$ мкА
$U_{KЭ}$ , В											

9) Снять зависимости  $I_K = f(U_{KЭ})$  при токе базы  $I_B$  равном 100 и 150 мкА. Результаты измерений занесите в таблицу 3.1.

- 10) Переключатель П5б установить в положение 2, подключив транзистор Т2 и повторить пункты 3 – 9 для транзистора Т2. Результаты измерений занесите в таблицу 2, аналогичную таблице 1.
  - 11) Выключить источник питания макета.
  - 12) Построить выходные вольт-амперные характеристики транзисторов Т1 и Т2.
- $I_K = f(U_{KЭ})$ , при  $I_B = \text{const.}$

13) По построенным графикам для одного из транзисторов определить дифференциальную и интегральную величины коэффициента усиления тока базы  $\beta$  при напряжении  $U_{K\Theta} = 5$  В.

14) Построить зависимость дифференциального сопротивления коллекторного  $p-n$ -перехода  $r_k^* = f(U_{K\Theta})$  при токе базы транзистора T1  $I_B = 100$  мкА, где дифференциальное сопротивление  $r_{k\text{diff}}^* = \frac{\partial U_{K\Theta}}{\partial I_K}$  при  $I_B = \text{const.}$

15) Оформить отчет и сделать выводы по работе.

## СПИСОК ЛИТЕРАТУРЫ

1. Ицкович В.М. Электроника. Учебное пособие. – Томск: Томский государственный университет, 2006. – 360 с.
2. Степаненко И.П. Основы микроэлектроники: Учебное пособие для вузов. – 2-е изд., перераб. и доп. - М.: Лаборатория Базовых Знаний, 2001.- 488 с.